

**ТЕХНИЧЕСКИЕ НАУКИ**  
**TECHNICAL SCIENCES**

УДК 517.518.8:519.633:536.2

Поступило в редакцию 21.09.2015

Received 21.09.2015

**В. А. Кот**

*Институт тепло- и массообмена имени А. В. Лыкова НАН Беларуси, Минск, Республика Беларусь*

**МЕТОД ВЗВЕШЕННОЙ ТЕМПЕРАТУРНОЙ ФУНКЦИИ В РЕШЕНИИ ЗАДАЧ  
НЕСТАЦИОНАРНОЙ ТЕПЛОПРОВОДНОСТИ**

*(Представлено членом-корреспондентом Н. В. Павлукевичем)*

Предложен приближенный интегральный метод решения краевых задач нестационарной теплопроводности, основанный на построении интегральных тождественных равенств относительно взвешенной температурной функции. Метод обладает простотой и, в отличие от других приближенных методов, позволяет получать решения с более высокой точностью.

*Ключевые слова:* уравнение теплопроводности, весовая функция, приближенный метод, интегральные тождества, собственные значения, фронт возмущения.

**V. A. Kot**

*A. V. Luikov Heat and Mass Transfer Institute of the National Academy of Sciences of Belarus, Minsk, Republic of Belarus*

**WEIGHTED TEMPERATURE FUNCTION METHOD FOR SOLUTION OF UNSTEADY-STATE HEAT  
CONDUCTION PROBLEMS**

*(Communicated by Corresponding Member N. V. Pavlukevich)*

An approximate integral method based on constructing integral identical equalities for the weighted temperature function is proposed for solution of unsteady-state heat conduction boundary-value problems. This method is simple in use and allows one to obtain much more exact solutions as compared to the known approximate methods.

*Keywords:* heat conduction equation, weight function, approximate method, integral identities, eigenvalues, front of a disturbance.

**Введение.** Для практических приложений при решении краевых задач наибольший интерес представляют приближенные аналитические методы, позволяющие находить простые по форме решения в пределах допустимой точности [1; 2]. Среди них особое место занимают ортогональные методы взвешенных невязок [3; 4]. В зависимости от выбора весовых функций могут быть получены схемы, отвечающие методам моментов, коллокаций, Галеркина, наименьших квадратов и др. Такие аппроксимационные решения, как правило, содержат неизвестные коэффициенты, определяемые из приближенного решения дифференциального уравнения.

В аналитической теории теплопроводности методы, опирающиеся на понятие фронта температурного возмущения, характеризуются широким спектром подходов (см., напр., [5–9]). Основным недостатком интегральных методов является относительно низкая точность. Получаемые решения, как правило, затрагивают лишь наиболее простые случаи: медленно и монотонно изменяющееся во времени внешнее воздействие, отсутствие нелинейностей и т. д. В настоящей работе представлен приближенный метод взвешенной температурной функции (МВТФ), в основе которого лежат системы уравнений для взвешенной температурной функции, содержащие

значение температурной функции  $T(x, t)$  либо ее производной по пространственной координате в одной из граничных точек рассматриваемой области [10]. В приложении к полуограниченному пространству в качестве искомой функции выступает так называемый фронт температурного возмущения.

**Постановка и решение задачи для конечномерной области.** Представим МВТФ на примере рассмотрения задачи теплопроводности для протяженной пластины с переменным вдоль оси  $x$  коэффициентом теплопроводности в следующей математической постановке (в безразмерной форме согласно обозначениям работы [10]):

$$\frac{\partial T}{\partial t} = \frac{\partial}{\partial x} \left( k(x) \frac{\partial T}{\partial x} \right), \quad 0 < x < 1, \quad t > 0, \quad (1)$$

$$T(0, t) = \gamma(t), \quad \frac{\partial T(1, t)}{\partial x} = 0, \quad t > 0, \quad (2)$$

$$T(x, 0) = 0. \quad (3)$$

В операторной форме уравнение (1) принимает вид

$$D_t T = LT, \quad (4)$$

где  $D_t \equiv \partial / \partial t$ ,  $L \equiv \frac{\partial}{\partial x} \left( k(x) \frac{\partial}{\partial x} \right)$  – дифференциальный оператор, подчиняющийся формуле Грина

$$(Lu, v) - (u, Lv) = \left[ k(x) \left( v \frac{du}{dx} - u \frac{dv}{dx} \right) \right]_0^1, \quad (5)$$

где  $(u, v)$  – скалярное произведение на отрезке  $[0, 1]$  функций  $u = u(x)$  и  $v = v(x)$ .

Введем в рассмотрение последовательность интегральных линейных операторов

$$\mathcal{L}_n(T) \equiv (T, \mathcal{K}_n) = \int_0^1 T \mathcal{K}_n dx, \quad n \in \mathbb{Z}_+,$$

где  $\mathcal{K}_n = \mathcal{K}_n(x)$  – весовые функции. Применив оператор  $\mathcal{L}_n$  к правой части уравнения (4), воспользовавшись (5), получим

$$\mathcal{L}_n(LT) \equiv (LT, \mathcal{K}_n) = (T, L\mathcal{K}_n) + P_n, \quad (6)$$

$$P_n = k(0) \frac{d\mathcal{K}_n(0)}{dx} \gamma(t) - k(0) \mathcal{K}_n(0) \frac{\partial T(0, t)}{\partial x} - k(1) T(1, t) \frac{d\mathcal{K}_n(1)}{dx}. \quad (7)$$

Для исключения в функции  $P_n$  производной  $\frac{\partial T(0, t)}{\partial x}$  либо члена  $T(1, t)$  необходимо, соответственно, положить  $\mathcal{K}_n(0) = 0 \vee \frac{d\mathcal{K}_n(1)}{dx} = 0$ . В случае принятия  $\mathcal{K}_n(0) = 0$  мы имеем лишь одну неизвестную температуру в граничной точке  $x = 1$  (так называемую граничную функцию):  $\varphi(t) = T(1, 0)$ .

Применив далее оператор  $\mathcal{L}_n$  к левой части уравнения (4), с учетом теоремы Лейбница имеем

$$\mathcal{L}_n \dot{T} = (\dot{T}, \mathcal{K}_n) = (T, \mathcal{K}_n)_t = (\mathcal{L}_x^n T)_t. \quad (8)$$

В итоге, объединив на основе (4) соотношения (6)–(8), получим уравнение

$$(\mathcal{L}_n T)_t = (T, L\mathcal{K}_n) + k(0) \frac{d\mathcal{K}_n(0)}{dx} \gamma(t) - k(1) \frac{d\mathcal{K}_n(1)}{dx} \varphi(t). \quad (9)$$

Чтобы освободиться в (9) от операций дифференцирования (при  $n = 1$ ), положим

$$L\mathcal{K}_1 \equiv \frac{\partial}{\partial x} \left( k(x) \frac{\partial \mathcal{K}_1}{\partial x} \right) = 0 \quad (10)$$

при начальном условии  $\mathcal{K}_1(0) = 0$ , либо альтернативном условии  $\frac{d\mathcal{K}_1(0)}{dx} = \frac{1}{\lambda(0)}$  (здесь отметим, что второе из записанных условий может быть иным, что не является принципиальным). Интегрирование (10) при  $\mathcal{K}_1(0) = 0$  дает следующее решение:  $\mathcal{K}_1(x) = \int_0^x \frac{dx}{k(x)}$ . Тогда вместо (9) приходим к новому уравнению  $(\mathcal{L}_1 T)_t = \gamma(t) - \varphi(t)$ . Его интегрирование с начальным условием (3) приводит к интегральному тождественному равенству

$$\mathcal{L}_1 T \equiv Y_1(t) - \mathcal{F}_1(t), \quad (11)$$

где  $Y_1(t) = \int_0^t \gamma(t) dt$ ,  $\mathcal{F}_1(t) = \int_0^t \varphi(t) dt$ . Ядра  $\mathcal{K}_{n+1}$  ( $n = 1, 2, \dots$ ) определим из рекуррентного соотношения  $\mathcal{K}_{n+1} = \mathcal{K}_n$  с начальным условием  $\mathcal{K}_{n+1}(0) = \frac{d\mathcal{K}_{n+1}(0)}{dx} = 0$ . Отсюда находим

$$\mathcal{K}_{n+1} = \int_0^x \frac{dx}{k(x)} \int_0^x \mathcal{K}_n dx, \quad n \in \mathbb{Z}_+. \quad (12)$$

В соответствии с (9) запишем уравнение  $(n+1)$ -го порядка

$$(\mathcal{L}_{n+1} T)_t = (T, L\mathcal{K}_{n+1}) - k(1) \frac{d\mathcal{K}_{n+1}(1)}{dx} \varphi(t) = (T, \mathcal{K}_n) - \varphi(t) \int_0^1 \mathcal{K}_{n+1} dx = \mathcal{L}_n T - \sigma_{n+1} \varphi(t), \quad (13)$$

где  $\sigma_{n+1} = \int_0^1 \mathcal{K}_{n+1} dx$ . Из (11)–(13) приходим к последовательности из уравнений

$$\left\{ (\mathcal{L}_n T)_t \equiv Y_{n-1}(t) - \sum_{i=1}^n \sigma_i \mathcal{F}_{n-i}(t) \right\}_n, \quad n \in \mathbb{Z}_+, \quad (14)$$

где  $Y_0(t) = \gamma(t)$ ,  $\mathcal{F}_0(t) = \varphi(t)$ ,  $\sigma_1 = 1$ .

Введем в рассмотрение *интегральные характеристики*  $Y_n(t)$  и  $\mathcal{F}_n(t)$ , определяемые соответственно как

$$Y_n(t) = \underbrace{\int_0^t dt \dots \int_0^t \gamma(t) dt}_n, \quad \mathcal{F}_n(t) = \underbrace{\int_0^t dt \dots \int_0^t \varphi(t) dt}_n, \quad n \in \mathbb{Z}_+.$$

Интегрирование уравнений последовательности (14) с начальным условием (3) дает окончательно новую последовательность из тождественных равенств в виде

$$\left\{ \mathcal{L}_n T \equiv Y_n(t) - \sum_{i=1}^n \sigma_i \mathcal{F}_{n+1-i}(t) \right\}_n, \quad n \in \mathbb{Z}_+. \quad (15)$$

Если приближенное решение задачи (1)–(3) представить степенным полиномом

$$T(x, t) = \gamma(t) + \sum_{j=1}^N a_j(t) x^j,$$

то, с учетом граничного условия (2) и условия для граничной функции  $T(1, t) = \varphi(t)$ , мы приходим к следующей системе уравнений:

$$\sum_i^N a_i(t) = \varphi(t) - \gamma(t), \quad \sum_i^N i a_i(t) = 0, \quad \left\{ \mathcal{L}_n T \equiv Y_n(t) - \sum_{i=1}^n \sigma_i \mathcal{F}_{n+1-i}(t) \right\}_n, \quad n = \overline{1, N-2}. \quad (16)$$

Решение системы (16) дает полиномиальные коэффициенты  $a_j(t)$ ,  $j = \overline{1, N}$ , которые содержат граничную функцию  $\varphi(t)$ , а также граничные характеристики  $Y_n(t)$  и  $\mathcal{F}_n(t)$ ,  $n = \overline{1, N-2}$ . Для определения  $\varphi(t)$  можно воспользоваться интегралом теплового баланса

$$\frac{d}{dt} \int_0^1 T(x, t) dx = -k(0) \frac{\partial T(0, t)}{\partial x}, \quad (17)$$

что приводит к обыкновенному дифференциальному уравнению

$$\gamma'(t) + \sum_{i=1}^N \frac{a_i'(t)}{i+1} + k(0) a_1(t) = 0. \quad (18)$$

В результате подстановки в (18) найденных коэффициентов  $a_j(t)$  ( $j = \overline{1, N}$ ) приходим к определяющему уравнению (записано в общем виде)

$$\sum_{i=0}^{N-1} (p_{i-1} \mathcal{F}_{i-1}(t) - q_{i-1} \Upsilon_{i-1}(t)) = 0, \quad (19)$$

где  $\Upsilon_{-1}(t) = \gamma'(t)$ ;  $p_{i-1}$  и  $q_{i-1}$  – коэффициенты (с целью сокращения представленного материала коэффициенты не приводятся),  $p_{-1} = 1$ .

Отметим, что определяющее уравнение для граничной функции  $\varphi(t)$  можно также получить из интегрального тождественного равенства (15)  $(N-1)$ -го порядка, которое имеет вид

$$\int_0^1 T(x, t) \mathcal{K}_{N-1} dx = \Upsilon_{N-1}(t) - \sum_{i=1}^{N-1} \sigma_i \mathcal{F}_{N-i}(t).$$

В таком случае, подстановка в (19) полиномиальных коэффициентов  $a_j(t)$  ( $j = \overline{1, N}$ ) приводит к следующему интегральному уравнению относительно граничной функции  $\varphi(t)$ :

$$\sum_{i=0}^{N-1} (v_i \mathcal{F}_i(t) - \omega_i \Upsilon_i(t)) = 0, \quad (20)$$

где  $v_i$  и  $\omega_i$  – коэффициенты (с целью сокращения представленного материала данные коэффициенты не приводятся),  $v_0 = 1$ .

Далее, продифференцировав одно из уравнений (19) либо (20) соответственно,  $(N-2)$ -кратно либо  $(N-1)$ -кратно, мы приходим к одному из следующих обыкновенных дифференциальных уравнений  $(N-1)$ -го порядка:

$$\varphi^{(N-1)}(t) + p_1 \varphi^{(N-2)}(t) + p_2 \varphi^{(N-3)}(t) + \dots + p_{N-1} \varphi(t) = \sum_{i=0}^{N-1} q_i \gamma^{(N-1-i)}(t), \quad (21)$$

$$\varphi^{(N-1)}(t) + v_1 \varphi^{(N-2)}(t) + v_2 \varphi^{(N-3)}(t) + \dots + v_{N-1} \varphi(t) = \sum_{i=0}^{N-1} v_i \gamma^{(N-1-i)}(t). \quad (22)$$

Начальные условия для уравнений (21) и (22) вытекают, соответственно, из интегральных уравнений (19) и (20), а также из очевидных тождеств

$$\underbrace{\int_0^t dt \dots \int_0^t \varphi(t) dt}_{n} \Big|_{t=0} \equiv 0, \quad \underbrace{\int_0^t dt \dots \int_0^t \gamma(t) dt}_{n} \Big|_{t=0} \equiv 0, \quad n \in \mathbb{Z}_+. \quad (23)$$

Поскольку полученные уравнения (21) и (22) по структуре друг другу идентичны и отличаются лишь коэффициентами, представляется целесообразным ограничиться рассмотрением процесса получения необходимых начальных условий лишь для одного из данных уравнений, например, уравнения (21). При  $t = 0$  уравнение (19), с учетом (23) и условия  $\varphi(0) = 0$ , принимает вид

$$p_{-1} \varphi'(0) = q_{-1} \gamma'(0) + q_0 \gamma(0).$$

Далее продифференцируем (19), что дает уравнение

$$\sum_{i=0}^{N-1} (p_{i-1} \mathcal{F}_{i-2}(t) - q_{i-1} \Upsilon_{i-2}(t)) = 0. \quad (24)$$

Здесь  $\mathcal{F}_{-2}(t) = \varphi''(t)$ ,  $\Upsilon_{-2}(t) = \gamma''(t)$ . При  $t = 0$  из (24), с учетом (23) и условия  $\varphi(0) = 0$ , имеем

$$p_{-1}\varphi''(t) + \varphi'(t) = q_{-1}\gamma''(0) + q_0\gamma'(0) + q_1\gamma(0).$$

Продолжив последовательное дифференцирование уравнения (19), приходим к системе из  $(N-3)$ -линейных алгебраических уравнений

$$\left\{ \sum_{i=0}^n (p_{n-i-1}\varphi^{(i)}(0) - q_{n-i-1}\gamma^{(i)}(0)) = 0 \right\}_n, \quad n = \overline{1, N-3}. \quad (25)$$

Решение системы (25) дает искомые начальные значения  $\varphi^{(i)}(0)$  ( $i = \overline{1, N-3}$ ). В таком случае, дифференциальное уравнение (21) и найденные начальные условия  $\varphi^{(i)}(0)$  ( $i = \overline{0, N-3}$ ) представляют задачу Коши относительно функции  $\varphi(t) = T(1, t)$ .

Укажем на другой возможный (альтернативный) вариант решения уравнения (21), что связано с введением в рассмотрение новой функции  $S(t) = \mathcal{F}_{N-2}(t)$ . Для нее запишем очевидные тождества

$$\mathcal{F}_{N-2-i}(t) \equiv S^{(i)}(t), \quad i = \overline{0, N-1},$$

которые дают возможность перевести интегральное уравнение (19) в обыкновенное дифференциальное уравнение с функцией  $S(t)$ :

$$\sum_{i=0}^{N-1} (p_{i-1}S^{(N-1-i)}(t) - q_{i-1}\Upsilon_{i-1}(t)) = 0. \quad (26)$$

Учитывая нулевые условия (23), для уравнения (26) имеем начальные условия:

$$S(0) = S'(0) = S''(0) = S^{(3)}(0) = \dots = S^{(N-2)}(0) = 0. \quad (27)$$

Решение задачи (26), (27) дает функцию  $S(t)$ . Учитывая, что  $S(t) = \mathcal{F}_{N-2}(t)$ , определение искомой граничной функции  $\varphi(t)$  предполагает  $(N-2)$ -кратное дифференцирование  $S(t)$ , т. е.  $\varphi(t) = D_t^{N-2}S(t)$ .

В виде иллюстративного примера рассмотрим важный случай  $\lambda = k(x) = \exp(-mx)$  при  $T(0, t) = 1$ . Температурную функцию  $T(x, t)$  представим полиномом шестой степени

$$T(x, t) = 1 + \sum_{j=1}^6 a_j(t) x^j.$$

Из граничного условия (2) и условия  $T(1, t) = \varphi(t)$  следуют два уравнения:

$$\sum_{j=1}^5 j a_j = 0, \quad \sum_{j=1}^5 a_j = \varphi(t) - 1.$$

Для замыкания системы получим оставшиеся четыре уравнения, воспользовавшись тождественными равенствами (15) для  $n = \overline{1, 4}$ . Из (12) находим весовые функции ( $m = 1$ ):

$$\begin{aligned} \mathcal{K}_1(x) &= \exp(x) - 1, \quad \mathcal{K}_2(x) = (\operatorname{sh} x - x) \exp x, \\ \mathcal{K}_3(x) &= \frac{\exp(x)}{12} (\exp(x)(\exp(x) - 6x + 9) - 6x - 9) - \frac{1}{12}, \\ \mathcal{K}_4(x) &= \frac{\exp(2x)}{72} (28 \operatorname{sh} x + \operatorname{sh} 2x - 6x(2 \operatorname{ch} x + 3)). \end{aligned}$$

Опустив выкладки по определению коэффициентов  $a_j(t)$  ( $j = \overline{1, 6}$ ) и применив вытекающее из (17) уравнение  $\sum_{i=1}^N \frac{a_i'(t)}{i+1} + a_1(t) = 0$ , приведем в окончательном виде определяющее уравнение

$$1,0543 \cdot 10^{-6} \varphi'(t) + 4,7258 \cdot 10^{-4} \varphi(t) + 0,05 \mathcal{F}_1(t) + 1,6625 \mathcal{F}_2(t) + 16,2742 \mathcal{F}_3(t) + 24 \mathcal{F}_4(t) = 3,6026 \cdot 10^{-6} - 3,2117 \cdot 10^{-4} t + 0,01049 t^2 - 0,16076 t^3 + t^4. \quad (28)$$

Решение (28) дает искомую граничную функцию

$$\varphi(t) = 1 - 1,3382 e^{-1,7821t} + 0,530 e^{-13,538t} - 0,27557 e^{-35,578t} + 0,107585 e^{-84,876t} - 0,02413 e^{-312,467t}.$$

На рис. 1 представлены графики изменения температуры по сечению неоднородной пластины, рассчитанные на основе МВТФ, а также численным методом. Ошибка аппроксимационного решения по сравнению с численным методом составляет сотые доли процента. Последующие приближения ( $N > 6$ ) дают практически точное решение.

**Постановка и решение задачи для полуограниченного пространства.** Запишем задачу в следующей математической постановке (в безразмерной форме согласно [10; 11]):

$$\frac{\partial T}{\partial t} = \frac{\partial}{\partial x} \left( k(x) \frac{\partial T}{\partial x} \right), \quad (29)$$

$$(i): T(0, t) = \gamma_I(t); \quad (ii): -k(0) \frac{\partial T(0, t)}{\partial x} = \gamma_{II}(t); \quad (iii): T(0, t) - \text{Bi}^{-1} \frac{\partial T(0, t)}{\partial x} = \gamma_{III}(t), \quad (30)$$

$$T(\infty, t) = 0, \quad T(x, 0) = 0. \quad (31)$$

Граничные условия (30)–(i), (30)–(ii) и (30)–(iii) отвечают, соответственно, граничным условиям Дирихле, Неймана либо описывают теплообмен по закону Ньютона.

Введем в рассмотрение фронт температурного возмущения  $\delta(x)$  с условиями

$$T(\delta(t), t) = \frac{\partial T(\delta(t), t)}{\partial x} = 0.$$

Введем также в рассмотрение последовательность из интегральных линейных операторов

$$\mathcal{L}_n(T) \equiv (T, \mathcal{K}_n) = \int_0^{\delta(t)} T \mathcal{K}_n dx, \quad n \in \mathbb{Z}_+, \quad (32)$$

где  $\mathcal{K}_n = \mathcal{K}_n(x)$  – весовые функции. Применив оператор  $\mathcal{L}_n$  к уравнению (4) (операторная форма уравнения (32)), получим для его правой части

$$\mathcal{L}_n(LT) \equiv (LT, \mathcal{K}_n) = (T, L\mathcal{K}_n) + k(0) \frac{d\mathcal{K}_n(0)}{dx} T(0, t) - k(0) \mathcal{K}_n(0) \frac{\partial T(0, t)}{\partial x}. \quad (33)$$

Применив оператор  $\mathcal{L}_n$  к левой части уравнения (4), с учетом теоремы Лейбница имеем

$$\mathcal{L}_n \dot{T} = (\dot{T}, \mathcal{K}_n) = (T, \mathcal{K}_n)_t - \mathcal{K}_n(\delta(t)) T(\delta(t), t) \delta'(t) = (\mathcal{L}_n T)_t.$$

Отсюда приходим к уравнению

$$(\mathcal{L}_n T)_t = (T, L\mathcal{K}_n) + k(0) \frac{d\mathcal{K}_n(0)}{dx} T(0, t) - k(0) \mathcal{K}_n(0) \frac{\partial T(0, t)}{\partial x}. \quad (34)$$

**Условие Дирихле.** Если исходить из условия (30)–(i), то тогда уравнение (34) со-

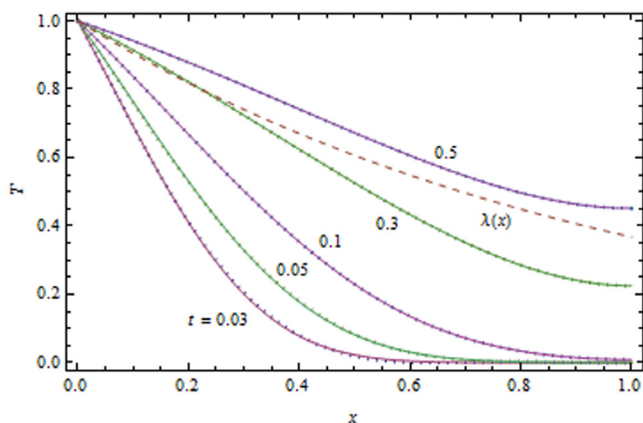


Рис. 1. Температурные профили в пластине при  $\lambda(x) = \exp(-x)$ , полученные на основе точного (численного) решения (сплошные линии) и на основе МВТФ (пунктирные линии)

Fig. 1. Temperature distributions over the plate at  $\lambda(x) = \exp(-x)$ , obtained from the exact (numerical) solution (solid lines) and from the solution based on WTFM (dotted lines)

держит неизвестную производную  $\frac{\partial T(0, t)}{\partial x}$ . Для ее исключения потребуем (в дальнейшем верхние индексы (I), (II) и (III) обозначают, соответственно, граничные условия Дирихле, Неймана и Ньютона)

$$\mathcal{K}_n^{(I)}(0) = 0, \quad n \in \mathbb{Z}_+. \quad (35)$$

Освободиться в (34) от операций дифференцирования (при  $n = 1$ ) позволяет уравнение

$$L\mathcal{K}_1^{(I)} \equiv \frac{d}{dx} \left( k(x) \frac{d\mathcal{K}_1^{(I)}}{dx} \right) = 0 \quad (36)$$

с начальными условиями

$$\mathcal{K}_1^{(I)}(0) = 0, \quad \frac{d\mathcal{K}_1^{(I)}(0)}{dx} = \frac{1}{\lambda(0)}. \quad (37)$$

Решение (36), (37) дает весовую функцию  $\mathcal{K}_1^{(I)}(x) = \int_0^x \frac{dx}{k(x)}$ . Отсюда вместо (34) запишем уравнение  $(\mathcal{L}_1^{(I)} T)_t = \gamma_1(t)$ , интегрирование которого дает тождественное равенство

$$\mathcal{L}_1^{(I)} T \equiv \Upsilon_1^{(I)}(t) = \int_0^t \gamma_1(t) dt. \quad (38)$$

Весовые функции  $\mathcal{K}_{n+1}^{(I)}$  определим с помощью рекуррентного соотношения  $\mathcal{K}_{n+1} = \mathcal{K}_n$  с однородным начальным условием  $\mathcal{K}_{n+1}^{(I)}(0) = \frac{d\mathcal{K}_{n+1}^{(I)}(0)}{dx} = 0$ . Тогда находим

$$\mathcal{K}_{n+1}^{(I)} = \int_0^x \frac{dx}{k(x)} \int_0^x \mathcal{K}_n^{(I)} dx, \quad n \in \mathbb{Z}_+,$$

откуда вытекает последовательность

$$\mathcal{K}_1^{(I)} = \int_0^x \frac{dx}{k(x)}, \quad \mathcal{K}_2^{(I)} = \int_0^x \frac{dx}{k(x)} \int_0^x \frac{dx}{k(x)}, \quad \mathcal{K}_3^{(I)} = \int_0^x \frac{dx}{k(x)} \int_0^x \int_0^x \frac{dx}{k(x)} \int_0^x \frac{dx}{k(x)}, \dots$$

Тогда для уравнений (34)  $(n+1)$ -го порядка получим

$$(\mathcal{L}_{n+1}^{(I)} T)_t = (T, L\mathcal{K}_{n+1}^{(I)}) = (T, \mathcal{K}_n^{(I)}) = \mathcal{L}_n^{(I)} T. \quad (39)$$

Из (38) и (39) приходим к последовательности

$$\left\{ (\mathcal{L}_n^{(I)} T)_t \equiv \Upsilon_{n-1}^{(I)}(t) \right\}_n, \quad n \in \mathbb{Z}_+, \quad (40)$$

где  $\Upsilon_0^{(I)}(t) = \gamma(t)$ ,  $\Upsilon_n^{(I)}(t) = \int_0^t dt \dots \int_0^t \gamma_1(t) dt$ . Интегрирование уравнений последовательности (40)

с учетом (31) дает окончательно

$$\left\{ \mathcal{L}_n^{(I)} T \equiv \Upsilon_n^{(I)}(t) \right\}_n, \quad n \in \mathbb{Z}_+.$$

**Условие Неймана.** Для граничного условия (30)–(ii) проинтегрируем уравнение (29) в пределах  $x = [0, \delta(t)]$ :

$$\int_0^{\delta(t)} \frac{\partial T}{\partial t} dx = \frac{d}{dt} \int_0^{\delta(t)} T dx = -k(0) \frac{\partial T(0, t)}{\partial x} = \gamma_{II}(t). \quad (41)$$

Интегрирование (41) приводит к тождественному равенству

$$\int_0^{\delta(t)} T dx = \int_0^{\delta(t)} T \mathcal{K}_1^{(I)} dx = \Upsilon_1^{(I)}(t),$$

где  $\mathcal{K}_1 = 1$ . Применив рекуррентное соотношение  $\mathcal{K}_{n+1}^{(II)} = \mathcal{K}_n^{(II)}$  с условиями  $\mathcal{K}_{n+1}^{(II)}(0) = \frac{d\mathcal{K}_{n+1}^{(II)}(0)}{dx} = 0$ , определим весовые функции

$$\mathcal{K}_1^{(II)} = 1, \quad \mathcal{K}_2^{(II)} = \int_0^x \frac{x}{k(x)} dx, \quad \mathcal{K}_3^{(II)} = \int_0^x \frac{dx}{k(x)} \int_0^x \frac{x}{k(x)} dx, \dots,$$

сводящие дифференциальное уравнение (29) к последовательности из тождественных равенств

$$\left\{ \mathcal{L}_n^{(II)} T \equiv \Upsilon_n^{(II)}(t) = \underbrace{\int_0^t dt \dots \int_0^t}_{n} \gamma_{II}(t) dt \right\}_n, \quad n \in \mathbb{Z}_+.$$

**Теплообмен по закону Ньютона.** При теплообмене согласно граничному условию (30)–(iii) для определения весовой функции  $\mathcal{K}_1^{(III)}$  положим в (33)

$$k(0) \frac{d\mathcal{K}_n(0)}{dx} T(0, t) - k(0) \mathcal{K}_n(0) \frac{\partial T(0, t)}{\partial x} = \gamma_{III}(t). \tag{42}$$

Сопоставив (42) и (30)–(iii), приходим к следующим соотношениям:

$$\mathcal{K}_1^{(III)}(0) = \frac{1}{\text{Bi} \lambda(0)}, \quad \frac{d\mathcal{K}_1^{(III)}(0)}{dx} = \frac{1}{\lambda(0)}. \tag{43}$$

Решение дифференциального уравнения  $L\mathcal{K}_1^{(III)} = 0$  с начальными условиями (43) дает функцию

$$\mathcal{K}_1^{(III)} = \int_0^x \frac{dx}{k(x)} + \frac{1}{\text{Bi} \lambda(0)}. \tag{44}$$

С учетом (42)–(44) уравнение (34) принимает вид

$$\mathcal{L}_1^{(III)} T = \Upsilon_1^{(III)}(t). \tag{45}$$

Проинтегрировав уравнение (45), получим

$$\mathcal{L}_1^{(III)} T = \Upsilon_1^{(III)}(t).$$

Нахождение весовых функций  $\mathcal{K}_{n+1}^{(III)}$  ( $n = 1, 2, \dots$ ) аналогично: посредством уравнения  $\mathcal{K}_{n+1}^{(III)} = \mathcal{K}_n^{(III)}$  с однородными начальными условиями  $\mathcal{K}_{n+1}^{(III)}(0) = \frac{d\mathcal{K}_{n+1}^{(III)}(0)}{dx} = 0$ . Отсюда, в частности, получаем

$$\mathcal{K}_2^{(III)} = \int_0^x \left( \int_0^x dx \int_0^x \frac{dx}{k(x)} + \frac{x}{\text{Bi} k(0)} \right) \frac{dx}{k(x)}. \text{ В итоге приходим к последовательности}$$

$$\mathcal{L}_n^{(III)} T \equiv \Upsilon_n^{(III)}(t) = \underbrace{\int_0^t dt \dots \int_0^t}_{n} \gamma_{III}(t) dt, \quad n \in \mathbb{Z}_+. \tag{46}$$

В виде иллюстративного примера рассмотрим краевую задачу при  $T(0, t) = 1$  и  $\lambda = k(x) = (1 + 5x)^{-1}$ . Температурный профиль представим полиномом

$$T(x, t) = 1 + \sum_{j=1}^6 a_j(t) \frac{x^j}{\delta(t)^j}.$$

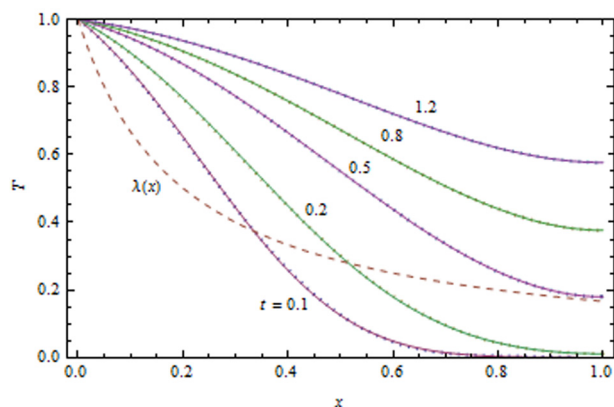


Рис. 2. Температурные профили в полуограниченном пространстве при  $\lambda(x) = (1 + 5x)^{-1}$ : сплошные линии – численное решение, пунктирные – решение на основе МВТФ ( $N = 6$ )

Fig. 2. Temperature distributions in the semi-bounded space at  $\lambda(x) = (1 + 5x)^{-1}$ : solid lines – numerical solution, dotted lines – solution based on WTFFM ( $N = 6$ )

Из условий на фронте возмущения (35) имеем два уравнения:  $\sum_{j=1}^N a_j(t) = -1$  и  $\sum_{j=1}^N j a_j(t) = 0$ . Дополнительные три уравнения получим из трех тождественных равенств последовательности (46) с найденными весовыми функциями

$$\mathcal{K}_1 = x \left( 1 + \frac{4}{2}x \right), \quad \mathcal{K}_2 = \frac{x^3}{6} (1 + 5x + 5x^2),$$

$$\mathcal{K}_3 = \frac{x^5}{120} \left( 1 + \frac{15}{2}x + \frac{50}{3}x^2 + \frac{125}{12}x^3 \right).$$

Еще одно уравнение запишем, потребовав выполнение уравнения (29) в точке  $x = 0$ . Отсюда имеем  $\left[ \frac{\partial}{\partial x} \left( k(x) \frac{\partial T}{\partial x} \right) \right]_{x=0} = 0$ , откуда следует

уравнение  $a_2(t) - \frac{\delta(t)}{2} a_1(t) = 0$ . Фронт температурного возмущения  $\delta(t)$  определим из интеграла теплового баланса  $\frac{d}{dt} \int_0^{\delta(t)} T dx = -k(0) \frac{\partial T(0, t)}{\partial x}$ ,

откуда следует дифференциальное уравнение

$$\sum_{j=0}^6 \left( \frac{a_j(t)}{2(j+1)} \sigma'(t) + \frac{a_j'(t)}{j+1} \sigma(t) \right) + a_1(t) = 0, \quad (47)$$

где  $\sigma(t) = \delta(t)^2$ . Температурные профили, полученные на основе (47), приведены на рис. 2. Отмечаем практически полное слияние приближенного и точного (численного) решений.

**Заключение.** В отличие от классических точных методов, дающих решения в виде тригонометрических, цилиндрических и специальных функций, получаемые МВТФ решения представляются степенными полиномами, максимально приспособленными для проведения инженерных расчетов, решения задач оптимизации, обратных задач и т. д. В итоге удается максимально упростить процесс получения решения, сводя его к выполнению последовательности достаточно простых операций. МВТФ гармонично объединяет простоту и высокую точность, существенно превышающую точность других известных приближенных методов.

#### Список использованных источников

1. Власова, Е. А. Приближенные методы математической физики / Е. А. Власова, В. С. Зарубин, Г. Н. Кувыркин. – М.: Изд-во МГТУ им. Н. Э. Баумана, 2001. – 700 с.
2. Зарубин, В. С. Математическое моделирование в технике / В. С. Зарубин. – М.: Изд-во МГТУ им. Н. Э. Баумана, 2003. – 496 с.
3. Флетчер, К. Численные методы на основе метода Галеркина / К. Флетчер; пер. с англ. – М.: Мир, 1988. – 352 с.
4. Михлин, С. Г. Вариационные методы в математической физике / С. Г. Михлин. – М.: Наука, 1970. – 512 с.
5. Wood, A. S. A new look at the heat balance integral method / A. S. Wood // Appl. Math. Model. – 2001. – Vol. 25, N 10. – P. 815–824. doi.org/10.1016/s0307-904x(01)00016-6.
6. Mitchell, S. L. Application of standard and refined heat balance integral methods to one-dimensional Stefan problems / S. L. Mitchell, T. G. Myers // SIAM Review. – 2010. – Vol. 52, N 1. – P. 57–86. doi.org/10.1137/080733036.
7. Myers, T. G. Optimizing the exponent in the heat balance and refined integral methods / T. G. Myers // Int. Commun. Heat Mass Transfer. – 2009. – Vol. 36, N 2. – P. 143–147. doi.org/10.1016/j.icheatmasstransfer.2008.10.013.
8. Layeni, O. P. Hybrids of the heat balance integral method / O. P. Layeni, J. V. Johnson // Appl. Math. Comput. – 2012. – Vol. 218, N 14/15. – P. 7431–7444. doi.org/10.1016/j.amc.2012.01.001.
9. Mitchell, S. L. Improving the accuracy of heat balance integral methods applied to thermal problems with time dependent boundary conditions / S. L. Mitchell, T. G. Myers // Int. J. Heat and Mass Transfer. – 2010. – Vol. 53, N 17/18. – P. 3540–3551. doi.org/10.1016/j.ijheatmasstransfer.2010.04.015.

10. Кот, В. А. Тождества взвешенной температуры / В. А. Кот // Инженерно-физический журнал. – 2015. – Т. 88, № 2. – С. 409–424.
11. Лыков, В. А. Теория теплопроводности / В. А. Лыков. – М.: Высшая школа, 1967. – 600 с.
12. Carslow, H. S. *Conduction of Heat in Solids* / H. S. Carslow, J. C. Jaeger. – Oxford, UK: Oxford University Press, 1992. – 510 p.

### References

1. Vlasova E. A., Zarubin V. S., Kuvyrkin G. N. *Approximate methods of mathematical physics*. Moscow, Publishing house of the Moscow State Technical University N. E. Bauman, 2001. 700 p. (in Russian).
2. Zarubin V. S. *Mathematical modeling in technology*. Moscow, Publishing house of the Moscow State Technical University N. E. Bauman, 2003. 496 p. (in Russian).
3. Fletcher K. *Numerical Methods Based on the Galerkin Method*. Moscow, Mir Publ., 1988. 352 p. (in Russian).
4. Mikhlin S. G. *Variational methods in mathematical physics*. Moscow, Nauka Publ., 1970. 512 p. (in Russian).
5. Wood A. S. A new look at the heat balance integral method. *Applied Mathematical Modelling*, 2001, vol. 25, no. 10, pp. 815–824. doi.org/10.1016/s0307-904x(01)00016-6.
6. Mitchell S. L., Myers T. G. Application of standard and refined heat balance integral methods to one-dimensional Stefan problems. *SIAM Review*, 2010, vol. 52, no. 1, pp. 57–86. doi.org/10.1137/080733036.
7. Myers T. G. Optimizing the exponent in the heat balance and refined integral methods. *International Communications in Heat and Mass Transfer*, 2009, vol. 36, no. 2, pp. 143–147. doi.org/10.1016/j.icheatmasstransfer.2008.10.013.
8. Layeni O. P., Johnson J. V. Hybrids of the heat balance integral method. *Applied Mathematics and Computation*, 2012, vol. 218, no. 14, pp. 7431–7444. doi.org/10.1016/j.amc.2012.01.001.
9. Mitchell S. L., Myers T. G. Improving the accuracy of heat balance integral methods applied to thermal problems with time dependent boundary conditions. *International Journal of Heat and Mass Transfer*, 2010, vol. 53, no. 17/18, pp. 3540–3551. doi.org/10.1016/j.ijheatmasstransfer.2010.04.015.
10. Kot V. A. Weighted temperature identities. *Journal of Engineering Physics and Thermophysics*, 2015, vol. 88, no. 2, pp. 423–438. doi.org/10.1007/s10891-015-1207-5.
11. Lykov V. A. *Theory of heat conduction*. Moscow, Vysshaya shkola, 1967. 600 p. (in Russian).
12. Carslow H. S., Jaeger J. C. *Conduction of Heat in Solids*. Oxford, UK, Oxford University Press, 1992. 510 p.

### Информация об авторе

Кот Валерий Андреевич – канд. техн. наук, ст. науч. сотрудник, Институт тепло- и массообмена им. А. В. Лыкова НАН Беларуси (ул. П. Бровки, 15, 220072, Минск, Республика Беларусь). E-mail: valery.kot@hmti.ac.by.

### Information about the authors

Kot Valery Andreevich – Ph. D. (Engineering), Senior researcher, A. V. Luikov Heat and Mass Transfer Institute of the National Academy of Sciences of Belarus (15, P. Brovka Str., 220072, Minsk, Republic of Belarus). E-mail: valery.kot@hmti.ac.by.

### Для цитирования

Кот, В. А. Метод взвешенной температурной функции в решении задач нестационарной теплопроводности / В. А. Кот // Докл. Нац. акад. наук Беларуси. – 2017. – Т. 61, № 2. – С. 64–73.

### For citation

Kot V. A. Weighted temperature function method for solution of unsteady-state heat conduction problems. *Doklady Natsional'noi akademii nauk Belarusi* [Doklady of the National Academy of Sciences of Belarus], 2017, vol. 61, no. 2, pp. 64–73 (in Russian).